



دانشگاه شهرورد

دانشکده شیمی

گروه شیمی معدنی

پایان نامه

برای دریافت درجه کارشناسی ارشد در رشته شیمی معدنی

عنوان

ستتر و مطالعه خصوصیات نانو اور توفریت لانتانیم دوپه شده با

Zn(II), Eu(III)

استاد راهنما

دکتر عبدالعلی عالمی

استاد مشاور

دکتر علی اکبر خاندار

پژوهشگر

محمد تقی صادقی سرخنی

آسفند ۱۳۸۶

حمد خدائی را که اول همه آثار هستی اوست و قبل از او اولی نبوده، و آخر است بی آنکه پس از

او آخری باشد. سپس خدای را بر آنچه از وجود مبارکش به ما شناسانده، و بر آنچه از شکر ش به ما

الهمام فرموده، و بر آن درهای دانش که به پروردگاریش بر ما کشوده. سپسی که حدش را پیامانی، و

شماره آن را حسابی، و پیام آن را نهایتی، و درت آن را نقطه اعی نباشد، سپسی که باعث

رسیدن به طاعت و بخشش او، و سبب رضا و خشودی او، و سیله آمرزش او، و راه به سوی

بعشت او، و پناه از انتقام او، و یار و سردار کاربر طاعت او، و منع از معصیت او، و حکم بر

اداء حق و وظائف حضرت او باشد.

((فرازی از صحیفه سجادیه))

حمد خدائی را که اول همه آثارست و قبل از او اولی نبوده، و آخر است بی آنکه پس

از او آخری باشد. سپس خدای را برابر آنچه از وجود مبارکش به ما شناسانده، و برآنچه از شکرش

به عالم فرموده، و برآن درهای دانش که بپروردگاریش بر عالم کشوده. سپسی که حشر را

پیانی، و شماره آن را حسابی، و پیمان آن را نهایتی، و مرتب آن را اقطعی نباشد، سپسی که

باعث رسیدن به طاعت و نجاش او، و سبب رضاو خشودی او، و سیله آمرزش او، و راه

به سوی بهشت او، و پناه از انتقام او، و یار و مردگار بر طاعت او، و ملع از معصیت او، و

گنج بر اداء حق و وظائف حضرت او باشد.

((فرازی از صحیفه سجادیه))

نام : محمد تقی	نام خانوادگی دانشجو : صادقی سرخنی
عنوان پایان نامه : ستز و مطالعه خصوصیات نانو اورتوفریت لانتانیم دوپه شده با Zn(II), Eu(III)	
استاد راهنما : دکتر عبدالعلی عالمی	استاد مشاور : دکتر علی اکبر خاندار
دانشگاه : تبریز	مقطع تحصیلی : کارشناسی ارشد گرایش : شیمی
تعداد صفحه : ۱۰۷	تاریخ فارغ التحصیلی : اسفند ۱۳۸۶ دانشکده : شیمی
کلید واژه ها : پروسکیت، اکسید لانتانیم، اکسید روی، اکسید اروپیم، سل ژل.	
چکیده :	
<p>در پژوهه حاضر نانوپروسکیت LaFeO_3 و سیستم های دوپه شده آن با اکسیدهای روی ($\text{LaFe}_{1-x}\text{Zn}_x\text{O}_3$)، و اروپیم ($\text{La}_{1-x}\text{Eu}_x\text{FeO}_3$) به روش سل-ژل خود احتراقی ستز شد. اکسیدهای نوع پروسکیت (با فرمول عمومی ABO_3) به عنوان مواد سرامیکی برای بیش از دو دهه مورد توجه فراوانی قرار گرفته اند. زیرا دارای خواص فیزیکی و کاربردهای جالب و متنوعی از قبیل پایداری زیاد در مقابل گرما، فعالیت الکتریکی و مغناطیسی فوق العاده ای هستند، و همچنین به عنوان کاتالیزور در واکنش های مختلفی کاربرد دارند. اکسید مختلط لانتانیم آهن با فرمول LaFeO_3 به عنوان یک پروسکیت، به جهت داشتن برخی از خواص فوق الذکر همواره میزبان مناسبی برای دیگر یون های خاک های نادر و یون های فلزات قلیایی و قلیایی خاکی می باشد.</p> <p>سرامیک های ستز شده با بهره گیری از دیفراکسیون اشعه X (XRD)، طیف سنجی مادون قرمز (FTIR)، میکروسکوپ الکترونی (SEM)، آنالیز حرارتی (TG-DTA) مورد مطالعه قرار گرفته اند. در مورد سیستم های دوپه شده روی نمونه ها تا $x=0.02$ و در مورد سیستم های دوپه شده Eu نمونه ها تا $x=0.1$ بصورت پروسکیت تک فاز می باشند. میانگین اندازه ذرات با استفاده از پیک واقع در $2\theta = 31-33$ و با کمک رابطه معروف دبای-شرب برای نمونه های دوپه شده Zn و Eu به ترتیب $58/72$ و $35/27$ نانومتر تعیین شد.</p>	

فهرست مطالب

صفحه	عنوان
	فصل اوّل : بررسی منابع
۱	۱-۱- مقدمه
۲	۲-۱- پیشینه پژوهش
۳	۱-۲-۱- لانتانیم
۴	۲-۲-۱- اروپیم
۴	۳-۲-۱- آهن
۵	۱-۳-۲-۱- هماتیت $\alpha\text{-Fe}_2\text{O}_3$
۶	۲-۳-۲-۱- مگنتیت Fe_3O_4
۷	۴-۲-۱- روی
۸	۳-۱- سل - ژل
۸	۱-۳-۱- شیمی و تکنولوژی سل - ژل
۱۰	۲-۳-۱- چگونگی انجام فرایند سل - ژل
۱۰	۱-۲-۳-۱- هیدرولیز
۱۱	۲-۲-۳-۱- تراکم
۱۴	۳-۲-۳-۱- عملیات حرارتی
۱۵	۳-۳-۱- کاربردهای فرایند سل - ژل و محصولات آن

۱۶.....	۱-۳-۳-۱- تولید سرامیک فشرده زیروژل با روش سل- ژل
۱۶.....	۱-۳-۳-۲- تولید مواد چند سازه با روش سل- ژل
۱۷.....	۱-۳-۳-۳- تولید آثروژل به روش سل- ژل
۱۹.....	۱-۴- ساختمان و خواص سرامیک ها
۲۰.....	۱-۵- ساختار پروسکیت ها
۲۰.....	۱-۵-۱- ساختار کریستالی
۲۲.....	۱-۵-۲- خواص فیزیکی
۲۴.....	۱-۶- مراحل تهیه مواد سرامیکی
۲۵.....	۱-۷- زیتر کردن جامد
۲۶.....	۱-۸- طیف سنجی پراش اشعه X
۲۹.....	۱-۹- میکروسکوپ الکترونی روبشی (SEM)
۳۰.....	۱-۱۰- هدف از کار پژوهشی

فصل دوم : مواد و روش ها

۳۱.....	۲-۱- مواد مورد استفاده
۳۱.....	۲-۲- دستگاه های مورد استفاده
۳۲.....	۲-۳-۱- روش سنتز
۳۲.....	۲-۳-۲- روش تهیه LaFeO_3
۳۲.....	۲-۳-۳- روش تهیه $\text{LaZn}_x\text{Fe}_{1-x}\text{O}_3$

فصل سوم : بحث و نتیجه گیری

۳۳.....	روش تهیه $\text{La}_{1-X}\text{Eu}_X\text{FeO}_3$ -۲-۳-۳-۲
۳۳.....	۴-۲- تهیه اکسید روی به روش سل - ژل خود احتراقی.
۳۳.....	۵-۲- تهیه اکسید اروپیم به روش سل - ژل خود احتراقی.
۳۷.....	ستز ۱-۳- LaFeO_3
۴۰.....	۲-۳- بررسی حلالیت اکسیدهای فلزی در سیستم LaFeO_3
۴۰.....	$\text{LaZn}_X\text{Fe}_{1-X}\text{O}_3$ -۱-۲-۲
۵۲.....	$\text{La}_{1-X}\text{Eu}_X\text{FeO}_3$ -۲-۲-۲
۷۰.....	۳-۳- بررسی اندازه ذرات
۷۳.....	۴-۳- آنالیز توسط طیف سنجی مادون قرمز
۸۲.....	۵-۳- بررسی های TG-DTA
۸۵.....	۶-۳- بررسی های SEM
۹۵.....	نتیجه گیری و پیشنهادات
۹۷.....	ضمیمه ۱
۹۸.....	ضمیمه ۲
۹۹.....	ضمیمه ۳
۱۰۰.....	ضمیمه ۴
۱۰۱.....	ضمیمه ۵

ضميمه ٦

١٠٢.....

منابع

١٠٣.....

فهرست جداول

عنوان	صفحه
جدول ۱-۱. مزایا و محدودیت های فرایند سل - ژل.....	۱۸.....
جدول ۱-۲- مواد مورد استفاده	۳۱.....
جدول ۲-۲- مقادیر مواد مورد استفاده جهت تهیه $\text{LaZn}_x\text{Fe}_{1-x}\text{O}_3$	۳۴.....
جدول ۲-۳- مقادیر مواد مورد استفاده جهت تهیه $\text{La}_{1-x}\text{Eu}_x\text{FeO}_3$	۳۵.....
جدول ۳-۱. مشخصات طیف LaFeO_3 سنتزی	۳۹.....
جدول ۲-۳. مقادیر Zn دوپه شده بجای Fe و مقادیر Fe مورد استفاده.....	۴۰.....
جدول ۳-۳. ساختارهای اکسید روی در شرایط مختلف.....	۴۱.....
جدول ۴-۳. مشخصات طیف ZnO سنتزی	۴۳.....
جدول ۳-۵. dهای مشاهده شده در نمونه a ($\text{Zn} = \% 1 \text{ mol}$) و مقایسه آن با نمونه دوپه نشده.....	۴۵.....
جدول ۳-۶. dهای مشاهده شده در نمونه b ($\text{Zn} = \% 2 \text{ mol}$) و مقایسه آن با نمونه دوپه نشده.....	۴۷.....
جدول ۳-۷. dهای مشاهده شده در نمونه c ($\text{Zn} = \% 3 \text{ mol}$) و مقایسه آن با نمونه دوپه نشده.....	۴۹.....
جدول ۳-۸-۳. مقادیر Eu دوپه شده بجای La و مقادیر La مورد استفاده.....	۵۲.....
جدول ۳-۹. ساختارهای اکسید اروپیوم در شرایط مختلف.....	۵۳.....
جدول ۳-۱۰-۳. مشخصات طیف Eu_2O_3 سنتزی.....	۵۵.....
جدول ۳-۱۱-۳. dهای مشاهده شده در نمونه a ($\text{Eu} = \% 2 \text{ mol}$) و مقایسه آن با نمونه دوپه نشده.....	۵۷.....
جدول ۳-۱۲-۳. dهای مشاهده شده در نمونه b ($\text{Eu} = \% 10 \text{ mol}$) و مقایسه آن با نمونه دوپه نشده.....	۵۹.....

جدول ۱۳-۳. $d_{\text{های مشاهده شده در نمونه}} = 15 \text{ mol} / c$ و مقایسه آن با نمونه دوپه نشده... ۶۱

جدول ۱۴-۳. نتیجه حاصل برای اندازه ذرات نمونه های سنتز شده $\text{LaZn}_x\text{Fe}_{1-x}\text{O}_3$ ۷۱

جدول ۱۵-۳. نتیجه حاصل برای اندازه ذرات نمونه های سنتز شده $\text{La}_{1-x}\text{Eu}_x\text{FeO}_3$ ۷۲

فهرست شکل ها

عنوان	صفحه
شکل ۱-۱. ساختار هماتیت	۵
شکل ۱-۲. ساختار مگنتیت	۶
شکل ۱-۳. طرح کلی فرایند سل-ژل	۹
شکل ۱-۴. چگونگی تاثیر PH محلول بر سرعت هیدرولیز	۱۱
شکل ۱-۵. زمان تشکیل ژل به عنوان تابعی از نسبت آب/تترا اتوکسی سیلان (TEOS)	۱۳
شکل ۱-۶. ساختار شبکه پلیمری محصول به دست آمده از فرایند سل-ژل (الف) کاتالیزور اسیدی، (ب) کاتالیزور بازی	۱۴
شکل ۱-۷. طرح کلی از شرایط و محصولات مختلف فرایند سل-ژل	۱۵
شکل ۱-۸ ساختار پروسکیت ایده آل ABO_3	۲۰
شکل ۱-۹. ساختار پروسکیتی BaTiO_3	۲۳
شکل ۱-۱۰. ساختار پروسکیتی SrRuO_3	۲۳
شکل ۱-۱۱. ساختار پروسکیتی LaFeO_3	۲۳
شکل ۱-۱۲. ساختار پروسکیتی $\text{YBa}_2\text{Cu}_3\text{O}_7$	۲۴
شکل ۱-۱۳. نمایش تصویری زیتر کردن جامد: a) ذرات قبل از زیتر کردن b) ذرات بعد از زیتر کردن	۲۵
شکل ۱-۱۴. پراش پرتو X توسط یک بلور	۲۷
شکل ۱-۱۵. پهنای پیک در نصف ارتفاع	۲۸

شکل ۱-۲- شمای کلی روش سل-ژل خود احتراقی برای سنتز سرامیک های نانو اورتو فریت لانتانیوم و گونه های

دو په شده آن ۳۶

شکل ۱-۳. طیف XRD مربوط به پودر حرارت داده شده LaFeO_3 در دمای 800°C ۳۸

شکل ۲-۳. طیف XRD مربوط به اکسید روی (ZnO) ۴۲

شکل ۳-۳. طیف XRD مربوط به نمونه a ($\text{Zn} = 1\text{ mol}$) ۴۴

شکل ۳-۴. طیف XRD مربوط به نمونه b ($\text{Zn} = 2\text{ mol}$) ۴۶

شکل ۳-۵. طیف XRD مربوط به نمونه c ($\text{Zn} = 3\text{ mol}$) ۴۸

شکل ۳-۶. مقایسه تغییرات طیف XRD با افزایش میزان Zn ۵۱

شکل ۳-۷. طیف XRD اکسید اروپیم سنتزی (Eu_2O_3) ۵۴

شکل ۳-۸. طیف XRD مربوط به نمونه a ($\text{Eu} = 2\text{ mol}$) ۵۶

شکل ۳-۹. طیف XRD مربوط به نمونه b ($\text{Eu} = 10\text{ mol}$) ۵۸

شکل ۳-۱۰. طیف XRD مربوط به نمونه c ($\text{Eu} = 15\text{ mol}$) ۶۰

شکل ۳-۱۱. طیف XRD مربوط به نمونه d ($\text{Eu} = 30\text{ mol}$) ۶۳

شکل ۳-۱۲. طیف XRD مربوط به نمونه e ($\text{Eu} = 40\text{ mol}$) ۶۴

شکل ۳-۱۳. طیف XRD مربوط به نمونه f ($\text{Eu} = 60\text{ mol}$) ۶۵

شکل ۳-۱۴. طیف XRD مربوط به نمونه g ($\text{Eu} = 80\text{ mol}$) ۶۷

شکل ۳-۱۵. مقایسه تغییرات طیف XRD با افزایش میزان Eu ۶۹

شکل ۳-۱۶. تغییرات اندازه ذرات نمونه های سنتز شده مربوط به $\text{LaZn}_x\text{Fe}_{1-x}\text{O}_3$ بر حسب میزان Zn ۷۰

شکل ۳-۱۷. تغییرات اندازه ذرات نمونه های سنتز شده مربوط به $\text{La}_{1-x}\text{Eu}_x\text{FeO}_3$ بر حسب میزان Eu ۷۱

شکل ۳-۱۸. طیف FTIR ژل خشک شده LaFeO_3 در دمای 100°C ۷۴

- شکل ۳-۱۹. طیف FT-IR پودر کلسینه شده LaFeO_3 در دمای ${}^{\circ}\text{C}$ ۸۰۰ ۷۵
- شکل ۳-۲۰. طیف FT-IR اکسید روی ۷۷
- شکل ۳-۲۱. طیف FT-IR مربوط به $\text{LaZn}_x\text{Fe}_{1-x}\text{O}_3$ با ۱٪ روی ۷۸
- شکل ۳-۲۲. طیف FT-IR مربوط به $\text{LaZn}_x\text{Fe}_{1-x}\text{O}_3$ با ۲٪ روی ۷۹
- شکل ۳-۲۳. طیف FT-IR مربوط به $\text{La}_{1-x}\text{Eu}_x\text{FeO}_3$ با ۲٪ اروپیم ۸۰
- شکل ۳-۲۴. طیف FT-IR مربوط به $\text{La}_{1-x}\text{Eu}_x\text{FeO}_3$ با ۱۰٪ اروپیم ۸۱
- شکل ۳-۲۵ منحنی TG-DTA مربوط به $\text{La}_{1-x}\text{Eu}_x\text{FeO}_3$ با ۱۰٪ اروپیم ۸۳
- شکل ۳-۲۶ منحنی TG-DTA مربوط به $\text{LaFe}_{1-x}\text{ZnXO}_3$ با ۲٪ روی ۸۴
- شکل ۳-۲۷. تصویر SEM مربوط به نمونه LaFeO_3 با بزرگ نمایی $x 500$ ۸۵
- شکل ۳-۲۸. تصویر SEM مربوط به نمونه LaFeO_3 با بزرگ نمایی $x 1000$ ۸۵
- شکل ۳-۲۹. تصویر SEM مربوط به نمونه LaFeO_3 با بزرگ نمایی $x 3000$ ۸۶
- شکل ۳-۳۰. تصویر SEM مربوط به نمونه LaFeO_3 با بزرگ نمایی $x 5000$ ۸۶
- شکل ۳-۳۱. تصویر SEM مربوط به نمونه LaFeO_3 با بزرگ نمایی $x 7000$ ۸۷
- شکل ۳-۳۲. تصویر SEM مربوط به نمونه LaFeO_3 با بزرگ نمایی $x 10000$ ۸۷
- شکل ۳-۳۳. تصویر SEM مربوط به نمونه $\text{La}_{1-x}\text{Eu}_x\text{FeO}_3$ با ۱۰٪ اروپیم با بزرگ نمایی $x 500$ ۸۸
- شکل ۳-۳۴. تصویر SEM مربوط به نمونه $\text{La}_{1-x}\text{Eu}_x\text{FeO}_3$ با ۱۰٪ اروپیم با بزرگ نمایی $x 1000$ ۸۸
- شکل ۳-۳۵. تصویر SEM مربوط به نمونه $\text{La}_{1-x}\text{Eu}_x\text{FeO}_3$ با ۱۰٪ اروپیم با بزرگ نمایی $x 2000$ ۸۹
- شکل ۳-۳۶. تصویر SEM مربوط به نمونه $\text{La}_{1-x}\text{Eu}_x\text{FeO}_3$ با ۱۰٪ اروپیم با بزرگ نمایی $x 5000$ ۸۹
- شکل ۳-۳۷. تصویر SEM مربوط به نمونه $\text{La}_{1-x}\text{Eu}_x\text{FeO}_3$ با ۱۰٪ اروپیم با بزرگ نمایی $x 7000$ ۹۰

شکل ۳-۳۸. تصویر SEM مربوط به نمونه $\text{La}_{1-x}\text{Eu}_x\text{FeO}_3$ با 10% اروپیم با بزرگ نمایی $x 10000$

شکل ۳-۳۹. تصویر SEM مربوط به نمونه $\text{LaFe}_{1-x}\text{Zn}_x\text{O}_3$ با 2% روی با بزرگ نمایی $x 500$

شکل ۳-۴۰. تصویر SEM مربوط به نمونه $\text{LaFe}_{1-x}\text{Zn}_x\text{O}_3$ با 2% روی با بزرگ نمایی $x 1000$

شکل ۳-۴۱. تصویر SEM مربوط به نمونه $\text{LaFe}_{1-x}\text{Zn}_x\text{O}_3$ با 2% روی با بزرگ نمایی $x 3000$

شکل ۳-۴۲. تصویر SEM مربوط به نمونه $\text{LaFe}_{1-x}\text{Zn}_x\text{O}_3$ با 2% روی با بزرگ نمایی $x 5000$

شکل ۳-۴۳. تصویر SEM مربوط به نمونه $\text{LaFe}_{1-x}\text{Zn}_x\text{O}_3$ با 2% روی با بزرگ نمایی $x 7000$

شکل ۳-۴۴. تصویر SEM مربوط به نمونه $\text{LaFe}_{1-x}\text{Zn}_x\text{O}_3$ با 2% روی با بزرگ نمایی $x 10000$

۱-۱- مقدّمه

واژه سرامیک از کلمه یونانی کراموس^۱ مشتق گردیده که در اصل به معنی ماده پخته شده است. تعریف جدید و علمی که در دنیای صنعتی امروز قابل قبول می باشد تعریفی است که در سال ۱۹۲۰ توسط جامعه سرامیک آمریکا مطرح شده است. سرامیک عبارتست از تمام محصولات غیر فلزی معدنی که برای به عمل آوردن آن به صورت یک محصول قابل استفاده احتیاج به دمایی معمولاً بالا تر از ۶۰۰ درجه سانتیگراد است [۱].

واضح است که اختلاف عمدۀ بین مواد سرامیکی و دیگر مواد در طبیعت، چگونگی پیوند شیمیایی و پایداری آنهاست. از دیدگاه علم مواد، مواد کلاً به سه دسته عمدۀ تقسیم می شوند: فلزات، سرامیک‌ها و پلیمرها.

با توجه به اینکه مرز مشخصی بین سرامیک‌ها و مواد فلزی و پلیمری وجود ندارد بنابراین آنها بایستی بر اساس نیازهای کاربردی در طراحی مهندسی مقایسه شوند. روشن است که فلزات معمولاً تراکم و کشش قابل ملاحظه‌ای دارند در صورتی که سرامیک‌ها به طور محسوسی به تراکم پذیری مقاومند. بنابراین سرامیک‌ها قابلیت تغییر شکل پلاستیکی نداشته و هدایت الکتریکی ضعیفی دارند اما مقاومت خوبی در مقابل مواد شیمیایی از خود نشان می دهند و به خاطر داشتن نقاط ذوب بالا در دسته مواد دیر گذاز قرار می گیرند. علاوه بر این سفتی، سختی و پایداری سرامیک‌ها نسبت به پلیمرها چشمگیرتر می باشد.

از بین سرامیک ها، اکسید های مختلط^۱ به لحاظ گستردگی کاربرد و اهمیت بسیار زیادشان در فرایندهای صنعتی مورد توجه بسیاری از پژوهشگران قرار گرفته اند. این دسته از ترکیبات به دلیل پایداری بسیار زیادشان در مقابل عواملی همچون رطوبت ، اکسیژن هوا ، اسید ها و بازها می توانند کاربردهای وسیعی داشته باشند. این ترکیبات می توانند به عنوان ابررساناهای ، نیمه رساناهای ، روکش های لعابی، دی الکتریک ها و فروالکتریک ها مورد استفاده قرار گیرند [۲].

۲-۱- پیشینهٔ پژوهش

نانو پروسکیت^۲ اورتو فریت لانتانیم (LaFeO_3) و ترکیبات وابسته به آن با فرمول عمومی $\text{LaB}_Y\text{Fe}_{1-Y}\text{O}_3$ و $\text{La}_{1-X}\text{A}_X\text{FeO}_3$ به علت کاربری در پیل های سوختی، خاصیت کاتالیتیکی و حسگرها توجه قابل ملاحظه ای را به خود جلب کرده اند [۳ و ۸]. خصوصیات و ساختار این مواد بر حسب روش های سنتز پودرهای پیش ماده آنها تحت تأثیر قرار می گیرد بنابراین روش تهیه این پودرها توجه زیادی از محققین را به خود جلب کرده است. تهیه LaFeO_3 و ترکیبات بر پایه آن به وسیله روش های متفاوتی نظیر هیدروترمال [۹ و ۱۰]، روش احتراقی [۱۱]، ته نشینی [۱۲] و سل-ژل [۱۳ و ۱۴] مورد مطالعه قرار گرفته است . تا کنون برای تهیه پروسکیت LaFeO_3 از روش های متفاوتی استفاده شده، که در آنها برای کلسینه کردن دمای نسبتاً بالا و زمان طولانی به کار برده شده است تا کریستال هایی با دانه بندی خوب بوجود آید. در این حالت اندازه دانه ها بزرگتر شده و ذرات با اندازه نانو به سختی بدست می آید [۱۵].

۱- Complex Oxide

۲- Perovskite

۱-۲-۱ - لانتانیم

C.G. Mosander در سال ۱۸۳۹ لانتانیم را کشف نمود. واژه لانتانیم از کلمه یونانی "Lanthanein" به معنی «پنهان شده» گرفته شده است. لانتانیم نخستین عنصر خاک های کمیاب در سری لانتانیدها می باشد. فلزی به رنگ سفید- نقره ای همراه با بعضی از کانی های خاک های کمیاب و به صورت ترکیب با سریم و عناصر خاک های کمیاب دیگر یافت می شود. این عنصر نرم، چکش خوار و شکل پذیر بوده به همین خاطر ماده مناسبی برای استفاده در آلیاژهایی با کاربردهای تخصصی در الکترونیک می باشد. این فلز فوق العاده فعال بوده و برای جلوگیری از اکسایش آن باید در زیر آرگون یا گاز نجیب دیگر نگهداری شود. از موارد کاربری دیگر آن استفاده در آلیاژهایی است که با ساییدن یا خراشیده شدن (همچون آلیاژهای آتشزنه فندک ها) بلاfacله جرقه می زند یا آتش می گیرند. همچنین وقتی که با شیشه ترکیب می شود ویژگی شکست نور مطلوبی به لنز دوربین ها می بخشند.

وقتی لانتانیم در معرض هوا قرار می گیرد به سرعت اکسیده می شود. در جریان این واکنش ها حالت اکسایش $[Xe]4f^0$ (La³⁺) +۳ پیدا می کند و آرایش الکترونی آن از $4f^0\ 5d^1\ 6s^2$ به $[Xe]4f^0\ 5d^1\ 6s^2$ تبدیل می شود [۱۶].

۲-۲-۱- اروپیم

اروپیم در سال ۱۹۰۱ توسط Eugsne Demarcay دانشمند فرانسوی کشف گردید. این عنصر به رنگ سفید- نقره ای بوده و در محدوده دماهای بین ۱۵۰-۱۸۰ درجه سانتی گراد در هوا آتش می گیرد. اروپیم عنصری در ساختار مکعبی متبلور می شود. در بین لantanید ها از همه فعال تر بوده و بلاfacسله در هوا به Eu_2O_3 اکسید می شود. آرایش الکترونی آن در حالت پایه $[\text{Xe}]4f^7 6s^2$ می باشد که در Eu_2O_3 آرایش الکترونی $(\text{Eu}^{3+}) [\text{Xe}]4f^6$ را پیدا می کند. اروپیم می تواند در بعضی ترکیبات حالت اکسایش $+2$ با آرایش الکترونی $(\text{Eu}^{2+}) 4f^7 [\text{Xe}]$ را داشته باشد. اروپیم در آلیاژهای گوناگون در پوشش لامپ تصویر تلویزیون های رنگی کاربرد دارد. ایزوتوب های آن به عنوان جاذب نوترون در راکتورهای هسته ای به کار می روند [۱۶].

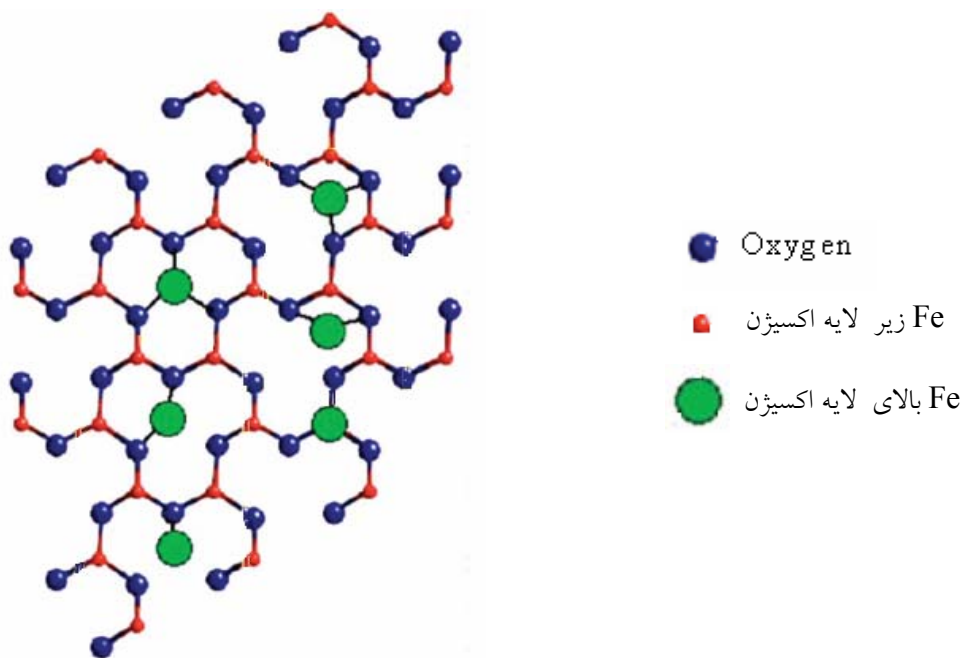
۲-۳-۱- آهن

این عنصر از زمان باستان شناخته شده و یکی از دوره های سرنوشت ساز در تاریخ بشر (عصر آهن) را رقم زده است. آهن نسبتاً سخت است اما وقتی که گداخته شود چکش خوار و حالت پذیر می شود به همین خاطر ماده فوق العاده مفیدی در ساختن ابزار آلات، اسلحه و قطعات دستگاه ها می باشد.

آهن بعد از آلمینیم فراوان ترین عنصر فلزی محسوب می شود و به اشکال گوناگونی در طبیعت وجود دارد. کانی های آن همایتیت و مگنتیت می باشند که هر دو اکسید آهن هستند. آهن گاهی به صورت فلز آزاد یافت می شود البته به شرطی که در تماس با آب و اکسیژن نباشد، در غیر این صورت بلافاصله زنگ زده و به اکسید خود تبدیل می شود [۱۶].

$\alpha\text{-Fe}_2\text{O}_3$ ^۱-۱-۳-۲-۱- هماتیت

ساختار هماتیت از نوع ساختار کرون‌دوم $\alpha\text{-Al}_2\text{O}_3$ می‌باشد. ساختارهای کرون‌دوم از نظر ساختار بلوری مشابه ایلیمینیت می‌باشد و ساختاری غیر لایه‌ای و مشبک دارد، به همین دلیل این ساختارها بسیار سخت می‌باشند. در هماتیت آنیون‌های اکسیژن در سیستم تنگچین شش گوشه‌ای متبلور می‌شوند. درون این سیستم حفره‌های هشت و چهار گوشه‌ای هستند که دو سوم حفره‌ها را یون‌های آهن (III) اشغال می‌کنند. در هماتیت عدد کوئردنیاسیون کاتیون برابر ۶ و عدد کوئردنیاسون آنیون برابر ۴ می‌باشد. سلول واحد هماتیت دارای سیستم بلوری رومبوهدرال^۲ و هر سلول واحد به صورت $2\text{Fe}_2\text{O}_3$ یعنی شامل چهار یون آهن و شش یون اکسیژن می‌باشد. شکل ۱-۱ ساختار هماتیت را نشان می‌دهد [۱۷].



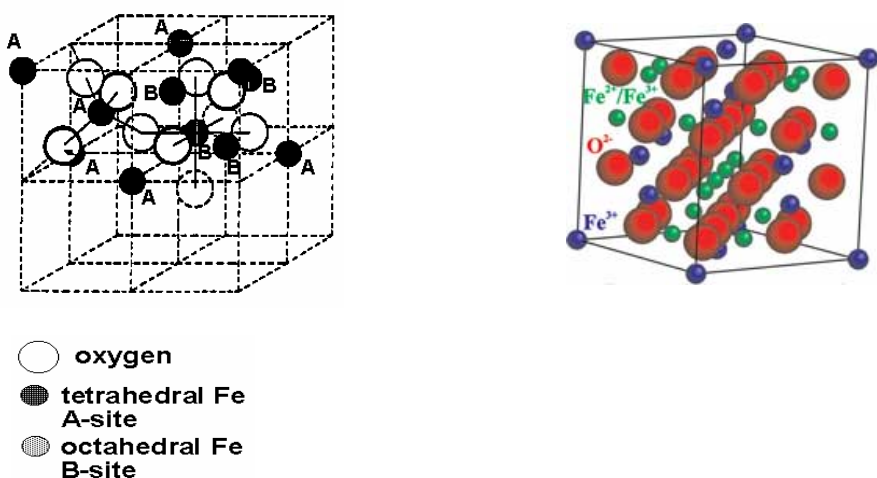
شکل ۱-۱ ساختار هماتیت

۱- Hematite

۲- Rhombohedral

Fe₃O₄ - ۲-۳-۲-۱ - مگنتیت^۱

ساختار مگنتیت از نوع اسپینل معکوس^۲ می باشد. از نظر ساختار بلوری در اسپینل نرمال آنیون ها با آرایش تنگچین مکعبی در شبکه بلور توزیع می شوند. کاتیونی که بار کمتری دارد در یک هشتمنجده ای چهار وجهی درون شبکه توزیع می شوند و کاتیونی که بار بیشتری دارد نصف حفره های هشت وجهی درون شبکه آنیون ها را اشغال می کند. در مگنتیت یون های اکسیژن دارای آرایش تنگچین مکعبی اند اما از آنجا که انرژی پایداری میدان بلور Fe(III) در میدان هشت وجهی صفر است. یون های Fe(II) یک چهارمنجده ای هشت وجهی را اشغال می کنند و دارای عدد کثوردیناسیون ۶ می باشند و یون های Fe(III) به طور برابر یک چهارمنجده ای هشت وجهی و یک هشتمنجده ای چهار وجهی را اشغال می کنند در نتیجه دارای عدد کثوردیناسیون ۴ و ۶ می شوند. نسبت استوکیومتری یون ها در شبکه بلور ساختار مگنتیت به صورت 2Fe₃O₄ می باشد و بررسی ها نشان داده است که هر سلول واحد مگنتیت شامل هشت واحد از فرمول استوکیومتری Fe^{II}Fe₂^{III}O₄ می باشد. شکل ۲-۱ ساختار مگنتیت را نشان می دهد [۱۷].



شکل ۲-۱ ساختار مگنتیت

۱- Magnetite

۲- Inverse spinel